

Природа уровней во многих случаях до конца не выяснена. Необходимо отметить высокий уровень структурного несовершенства материалов. Вероятно, это обстоятельство и определяет тот набор локализованных состояний, который имеет место в кристаллах BGO и BSO без специально введенных легирующих добавок, и слабую чувствительность этих материалов к введению малых количеств примесей.

## ЛИТЕРАТУРА

1. Пространственные модуляторы света/Под ред. С. Б. Гуревича. Л.: Наука, 1977.
2. Hou S. L., Lauer R. B., Aldrich R. E. Transport Processes of Photoinduced Carriers in  $\text{Bi}_{12}\text{SiO}_{20}$ .— J. Appl. Phys., 1973, vol. 44, N 6, p. 2652–2658.
3. Lauer R. B. Thermally Stimulated Currents and Luminescence in  $\text{Bi}_{12}\text{SiO}_{20}$  and  $\text{Bi}_{12}\text{GeO}_{20}$ .— J. Appl. Phys., 1971, vol. 42, N 5, p. 2147–2149.
4. Быковский Ю. А. и др. Фотоэлектрические свойства  $\text{Bi}_{12}\text{GeO}_{20}$ .— ФТП, 1978, т. 12, вып. 10.
5. Гудаев О. А., Дегтяненко В. А., Малиновский В. К. Энергетический спектр и природа глубоких уровней в кристаллах германата висмута.— ФТП, т. 23, вып. 1.
6. Анцыгин В. Д. и др. Фото- и термолюминесценция  $\text{Bi}_{12}\text{GeO}_{20}$ .— Автометрия, 1980, № 1, с. 102–106.
7. Гусев В. А., Елисеев А. М. Фотолюминесценция  $\text{Bi}_{12}\text{GeO}_{20}$ .— Автометрия, 1981, № 5.
8. Елисеев А. П., Надолинный В. А., Гусев В. А. Вакансационные центры в монокристаллах  $\text{Bi}_{12}\text{RO}_{20}$  ( $\text{R}=\text{Si}, \text{Ti}, \text{Ge}$ ).— В кн.: Тез. докл. Междунар. конф. «Дефекты в диэлектрических кристаллах». Рига: Зиннатне, 1981.
9. Гудаев О. А., Косцов Э. Г., Малиновский В. К. Инжектирующий контакт к широкозонным диэлектрикам.— Автометрия, 1978, № 1.
10. Анцыгин В. Д., Гудаев О. А., Малиновский В. К. Нелинейный фотоотклик в структурах M ( $\text{Bi}_{12}\text{GeO}_{20}$ )M.— Автометрия, 1980, № 1.
11. Гудаев О. А. О типе основных носителей в кристаллах германата висмута.— Автометрия, 1980, № 1.
12. Futro A. T., Lukasiewicz T., Zmija J. Circular Birefringence in Bismuth Germanium Oxide ( $\text{Bi}_{12}\text{GeO}_{20}$ ).— Phys. Stat. Sol. (a), 1976, vol. 37, p. K75.
13. Антонов-Романовский В. В. Кинетика фотолюминесценции кристаллофосфоров. М.: Наука, 1966.
14. Wardzynski W., Lukasiewicz T., Zmija J. Reversible Photochromic Effects in Doped Single Crystals of Bismuth Germanium ( $\text{Bi}_{12}\text{GeO}_{20}$ ) and Bismuth Silicon Oxide ( $\text{Bi}_{12}\text{SiO}_{20}$ ).— Opt. Comm., 1979, vol. 30, N 2, p. 203–205.
15. Peltier M., Micheron F. Volume Hologram Recording and Charge Transfer Process in  $\text{Bi}_{12}\text{SiO}_{20}$  and  $\text{Bi}_{12}\text{GeO}_{20}$ .— J. Appl. Phys., 1977, vol. 48, N 9, p. 3683–3690.
16. Кизель В. А. и др. О гидротропии кристаллов типа силленит.— Опт. и спектр., 1973, т. 34, вып. 6.
17. Abrahams S. C., Jamieson P. B., Bernstein J. L. Crystal Structure of Piezoelectric Bismuth Germanium Oxide  $\text{Bi}_{12}\text{GeO}_{20}$ .— J. Chem. Phys., 1967, vol. 47, N 10, p. 4034–4041.
18. Efendiev Sh. M., Bagiev V. E., Zeinally A. Ch., Skorikov V. M. Optical Transition in  $\text{Bi}_{12}\text{SiO}_{20}$ .— Phys. Stat. Sol. (a), 1978, vol. 50, p. 14.
19. Реза А. А., Сенуллене Д. Б., Беляев В. А., Леонов Е. И. Оптические свойства монокристаллов  $\text{Bi}_{12}\text{SiO}_{20}$ .— Письма в ЖТФ, 1979, т. 5, вып. 8.
20. Панченко Т. В., Кудзин А. Ю., Трусеева Н. А. Термостимулированные токи в монокристаллах  $\text{Bi}_{12}\text{SiO}_{20}$ .— ФТП, 1980, т. 22, вып. 6.
21. Лампарт М., Марк П. Инжекционные токи в твердых телах. М.: Мир, 1973.

Поступила в редакцию 26 марта 1981 г.

УДК 535.37+535.377 : 621.315.592

В. А. ГУСЕВ, А. П. ЕЛИСЕЕВ

(Новосибирск)

## ФОТОЛЮМИНЕСЦЕНЦИЯ МОНОКРИСТАЛЛОВ $\text{Bi}_{12}\text{GeO}_{20}$

Возможность технического применения германата висмута  $\text{Bi}_{12}\text{GeO}_{20}$  вызывает интерес к его физическим свойствам. Многие из них, в частности оптические, определяются локальными центрами, уровня которых

расположены в запрещенной зоне кристалла. Одним из наиболее чувствительных методов для изучения локальных центров и особенностей их проявления в электронных процессах, как известно, является фотолюминесценция (ФЛ).

В первых работах, посвященных изучению ФЛ германата висмута [1, 2], сообщается о двух полосах с максимумами при 640 нм (1,95 эВ) и 950 нм (1,30 эВ), наблюдаемых при температуре  $T = 80$  К. Свечение с  $\lambda_{\max} = 640$ , 950 нм эффективно возбуждается в узкой полосе  $\lambda_{\max} = 369$  нм (80 К) у края собственного поглощения кристалла, тогда как ФЛ с  $\lambda = 950$  нм возбуждается, кроме того, светом с  $\lambda \sim 550$  нм ( $\sim 2,20$  эВ)\*. В работе [3] обнаружены полосы ФЛ при 700 нм (1,77 эВ)\*\* и 850—950 нм (1,46—1,30 эВ), возбуждаемые в узкой полосе 369 нм, а также в полосе 420—450 нм (2,95—2,75 эВ), которая хорошо коррелирует с «плечом» у края собственного поглощения в спектрах оптического поглощения и фотопроводимости (ФП). Анализ спектральных и температурных характеристик свечения позволил выделить два механизма возбуждения — экситонный при  $\lambda < 380$  нм и электронный (с переносом заряда) при  $\lambda < 500$  нм. Изучен вклад каждого из них в процесс возбуждения ФЛ [1—3]. В [4] наблюдалась также полоса ФЛ ( $\lambda \sim 540 — 550$  нм, 2,25 — 2,30 эВ) при комнатной температуре, переходящая с понижением температуры в одиночную полосу при 640 нм. Легирование кристаллов ионами Fe, Mn, Gd уменьшает интенсивность ФЛ, в случае Mn отмечается смещение полосы ФЛ от 1,95 эВ (0,02% Mn) к 2,05 эВ (0,5% Mn).

В настоящей работе продолжено изучение спектрального состава ФЛ и спектров возбуждения люминесценции (СВЛ) в монокристаллах  $\text{Bi}_{12}\text{GeO}_{20}$ , а также влияния различного рода термообработок и легирования алюминием на ФЛ. Измерения проводились на серийных самоактивированных монокристаллах размером  $5 \times 5 \times 1$  мм<sup>3</sup>, которые вырезались из були, выращенной методом Чохральского из расплава окислов стехиометрического состава. По данным спектрального анализа содержание примесей Fe, Cu, Al, Mg, Pb составляло не более  $10^{-4}$  вес. %, Ti, Si — не более  $10^{-3}$  и  $10^{-2}$  вес. % соответственно; наличия Sb, Tl, Ag, W, As, Cr, Ga, Ni, Be, Mo, V, Se в пределах до  $10^{-5}$  вес. % не обнаружено. Для изменения стехиометрического состава кристаллов по кислороду образцы подвергались отжигу при разных температурах (до 1000 К) в вакууме или атмосфере кислорода аналогично [5]. Легирование алюминием проводилось путем нанесения пленки металла вакуумным напылением на поверхность кристалла с последующим вакуумным отжигом. Для восстановления стехиометрии кристалла по кислороду дополнительно проводился отжиг образцов до 1000 К в атмосфере кислорода. Специальная проверка показала, что легирование затрагивает лишь приповерхностную часть кристалла и соответствующее свечение исчезает после снятия слоя в несколько микрон и последующей полировки. Некоторые кристаллы подвергались рентгеновскому (1 ч, ECV 2 W, 50 кВ, 40 мА) или  $\gamma$  ( $^{60}\text{Co}$ , 2 Мрад)-облучению.

Спектральные характеристики ФЛ в диапазоне 80—500 К измерялись на установках, описанных в [3]. Свечение регистрировалось под углом 90° к направлению возбуждающего света. В ряде случаев для регистрации спектральных характеристик послесвечения (ПСВ) использовался двухдисковый фосфороскоп Беккереля, измерения проводились в геометрии «на просвет», задержка составляла  $5 \cdot 10^{-3}$  с. Все приведенные спектры ФЛ нормированы на спектральную чувствительность регистрирующей аппаратуры, СВЛ — на постоянное число квантов падающего на кристалл возбуждающего света.

\* Запись спектра возбуждения ФЛ в непрерывном режиме в [1, 2] сделать не удалось.

\*\* Отличие в положении полос связано с нормировкой спектров в [3].

Рис. 1. Спектры ФЛ  $\text{Bi}_{12}\text{GeO}_{20}$  для исходного кристалла (возбуждение 365 Hg (1), 546 Hg (2)), отожженного в вакууме до 880 K (4) и легированного алюминием (5) (возбуждение 436 Hg).

Спектры 1—3 получены при 80 K, 4, 5 — при 300 K.

Анализ [1—3] показал, что основные полосы в СВЛ удачно совпадают с линиями ртутного спектра, и поэтому для получения спектров ФЛ обычно использовалась лампа ДРШ-250 со светоильным конденсором из комплекта спектрометра СДЛ-1, линии выделялись набором стеклянных светофильтров. В методическом плане излучение ФЛ при пониженных температурах и  $\lambda_{\text{возб}} < 500$  нм затруднялось фотохромным эффектом [6]. Однако спектр дополнительного поглощения является достаточно ярким, и потемнение кристаллов не сказывалось существенно на спектре ФЛ, хотя и вызывало некоторое перераспределение в относительной интенсивности полос и общее ослабление ФЛ из-за реабсорбции излучения, а также характерные переходные процессы, обусловленные перезарядкой центров люминесценции, центров захвата. Люминесценция, как правило, измерялась после выхода интенсивности свечения на стационарное значение через 2—5 мин после начала возбуждения.

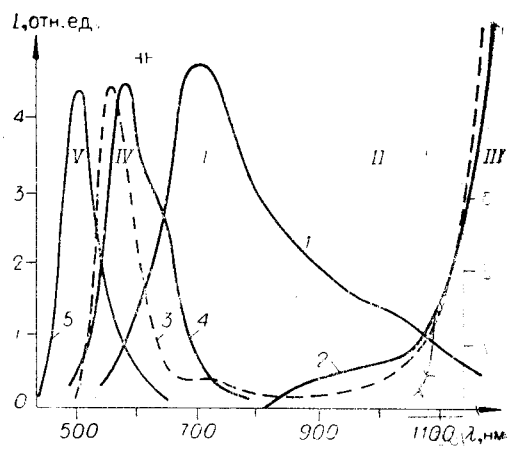
Полученные в диапазоне 300—1200 нм спектры ФЛ приведены на рис. 1. Можно выделить по крайней мере пять систем (I—V), проявляющихся независимо при разных условиях возбуждения и обусловленных, по-видимому, различными дефектами. Рассмотрим более детально каждую из них. В исходных кристаллах  $\text{Bi}_{12}\text{GeO}_{20}$  наблюдаются системы I—III.

I. Одиночная полоса с максимумом при 700 нм (1,77 эВ) доминирует в спектре ФЛ при возбуждении 365 Hg,  $T = 80$  K.

II. Широкая, достаточно слабая полоса в диапазоне 850—1000 нм (1,25—1,45 эВ), присутствующая, как правило, в виде «плеча» у систем I, III, что затрудняет детальное изучение ее характеристики.

III. Интенсивная ИК-полоса при  $\lambda > 1100$  нм ( $h\nu < 1,10$  эВ), вершину которой не удалось зарегистрировать даже с охлаждением ФЭУ-83, чувствительным до 1200 нм. Системы I—III обнаружены нами во всех без исключения кристаллах (в том числе  $\text{Bi}_{12}\text{SiO}_{20}$ ), выращенных в различных организациях.

IV. Отжиг кристаллов германата в вакууме до температур выше 570 K приводит к появлению новой системы полос в ФЛ (IV), которая состоит, по крайней мере, из трех полос с максимумами: полосы при 560 нм (2,22 эВ), доминирующей при 80 K; полосы при 590 нм (2,10 эВ), доминирующей при комнатной температуре в ФЛ, а также полосы при 640—650 нм (1,95 эВ), присутствующей в виде плеча при 300 K. Интенсивность IV монотонно растет по мере повышения температуры изохронного отжига образца, причем максимальная, достигавшаяся интенсивность ФЛ (IV) при 80 K в десятки раз превышает ФЛ (I) исходного кристалла (сравнение проводилось при возбуждении 436, 405 Hg). Интегральная интенсивность свечения IV увеличивается с ростом температуры от 80 K, достигая максимума при 300 K и тушится к 450 K. Аппроксимация к экспоненциальному закону разогревания и закону Мотта для тушения дает  $\Delta E_{\text{разг}} \sim 0,22$  эВ,  $\Delta E_{\text{туш}} \sim 0,6 - 0,9$  эВ. Система IV исчезает полностью после дополнительного отжига образца в атмосфере кисло-



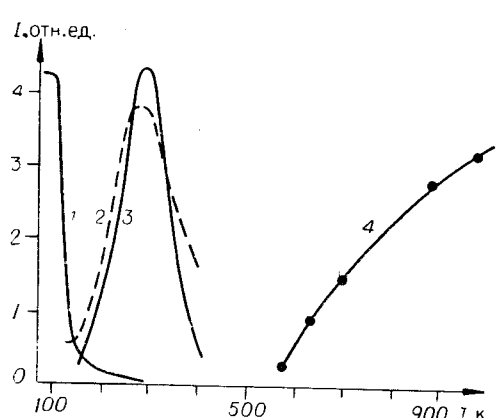


Рис. 2. Температурная зависимость ФЛ для полосы (I) — кривая 1 (возбуждение 365 Нг), для полос (V), (IV) — кривые 2, 3 (возбуждение 436 Нг); 4 — зависимость интенсивности ФЛ в полосе (IV) (80 К и возбуждение 436 Нг) от температуры вакуумного отжига кристалла.

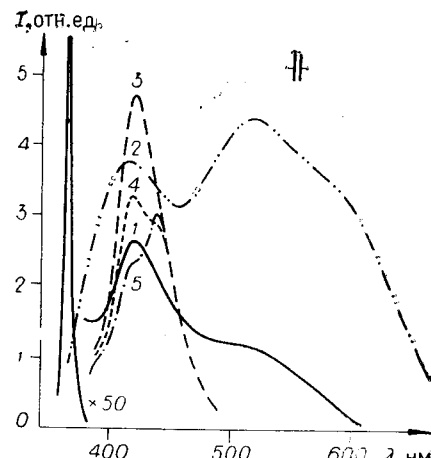


Рис. 3. Спектры возбуждения ФЛ в полосах (I) (спектр 1) при 80 К и (IV) при 80, 160, 185 К (спектры 3—5 соответственно); 2 — спектр возбуждения ПСВ для свечения в полосе (III) при 80 К.

рода. Отметим, что система IV появляется в исходных кристаллах  $\text{Bi}_{12}\text{GeO}_{20}$  также и после X- или  $\gamma$ -облучения.

V. Легирование кристаллов алюминием с отжигом в вакууме и в кислороде приводит также к появлению новой полосы ФЛ (V) с максимумом при 500 нм (2,48 эВ), температурная зависимость которой приведена на рис. 2.

Как показано в [3], системы I, II эффективно возбуждаются при 80 К в экситонной полосе, причем интенсивность свечения резко падает при  $T > 160$  К, что связывается с термической диссоциацией свободных экситонов. Процесс описывается экспонентой с  $\Delta E \sim 0,15$  эВ. Наоборот, системы III—IV в ФЛ наиболее эффективно возбуждаются в полосе 420—450 нм, III — также в полосе 540—580 нм (рис. 3) и практически не возбуждаются в экситонной полосе 369 нм. Полосы 420—450 и 540—580 нм присутствуют в СВЛ исходных кристаллов, причем первая из них по положению коррелирует, как уже отмечалось [3], с «плечом» у края собственного поглощения в спектрах оптического поглощения и ФП. Отжиг в вакууме приводит к появлению структуры, по крайней мере, из двух полос в СВЛ для ФЛ (IV): полосы с максимумами при 420 нм, доминирующей при  $T < 160$  К, и полосы при 445 нм, преобладающей при более высоких температурах. Наличие аналогичной структуры в ФП пока не обнаружено.

Очевидно, что поглощение, ФП, СВЛ в «плече» обусловлены в исходных кристаллах несколькими центрами, часть из которых при этом ионизируется. Так, в [6] показано методом ЭПР наличие в кристаллах  $\text{Bi}_{12}\text{GeO}_{20}$ ,  $\text{Bi}_{12}\text{SiO}_{20}$  ростовых дефектов —  $F^+$ - и  $F_2^{2+}$ -центров в концентрациях до  $5 \cdot 10^{18} \text{ см}^{-3}$ , которые ионизируются при подсветке с  $\lambda \leq 450$  нм, что уверенно фиксируется по исчезновению сигнала ЭПР. Другим центром, ответственным за поглощение, ФП, СВЛ в этой области спектра, может быть германиевая вакансия плюс комплексный ион  $\text{BiO}_7$ , присутствующие в концентрации  $10^{19} \text{ см}^{-3}$  [5]. Что касается центра IV, то вполне возможно, что уровни возбужденного состояния центра лежат ниже дна зоны проводимости, возбуждение не сопровождается ионизацией, а трансформация спектров ФЛ и СВЛ с температурой обусловлена наличием двух или более основных (возбужденных) состояний, заселен-

ность которых определяется их относительным положением в энергетической шкале и вероятностью взаимной электронной конверсии.

Возможность генерации центров *IV* при  $X$ -,  $\gamma$ -облучениях свидетельствует о собственном характере дефектов, тогда как из экспериментов по отжигу в вакууме и кислороде может быть сделан вывод об участии в образовании центра именно кислородных вакансий.

При вакуумном отжиге усиливается также и полоса 540—580 нм в СВЛ, появляется ее аналог в ФЛ [5]. Таким образом, возбуждение в диапазоне 420—450 и 540—580 нм, по крайней мере, частично связано с переносом заряда между центрами. ИК-свечение *III* не удается возбудить при  $\lambda > 700$  нм, что соответствует длинноволновому краю полосы 540—580 нм и, по-видимому, ионизации локального центра. Таким образом, уровень основного состояния центра люминесценции *III* расположен примерно на 1,8 ниже дна зоны проводимости.

Свечение 700 нм (*I*) возбуждается преимущественно в экситонной полосе, причем полоса ФЛ в энергетической шкале более чем на 1,5 эВ отстоит от экситонной полосы в СВЛ, соответствующей генерации свободных экситонов. По этим признакам можно предположить, что ФЛ (*I*) обусловлена свечением автолокализованных экситонов. В настоящее время во многих щелочно-галоидных кристаллах, а также в целом ряде окисных систем ( $\text{CaO}$ ,  $\text{SrO}$ ,  $\text{Sc}_2\text{O}_3$ ,  $\text{Y}_2\text{O}_3$ , и др. [7]) обнаружены полосы свечения при низких температурах, которые характеризуются подобными свойствами и достаточно надежно связаны с одно- или двухцентровыми автолокализованными экситонами. Возбуждение свечения таких экситонов может быть получено и при возбуждении кристалла светом значительно меньших энергий по сравнению с необходимым для генерации свободных экситонов (как, например, в  $F$ -,  $H$ -полосах в  $\text{CsBr}$  [8]), и, таким образом, может быть дано объяснение более длинноволновым полосам в СВЛ для ФЛ (*I*). Следует, однако, отметить еще одну возможность объяснения наблюдаемых особенностей ФЛ, связанную с учетом сильной неоднородности возбуждения кристалла при  $\lambda \sim 369$  нм. Свет из экситонной полосы попадает практически в область собственного поглощения кристалла ( $\kappa \sim 10^4 \text{ см}^{-1}$ ), глубина его проникновения в кристалл составляет около  $10^3$  нм, а из-за низких значений подвижности  $\mu \sim 10^{-2} \text{ см}^2 \cdot \text{В/с}$  ожидается, что перенос возбуждения в глубь образца свободными экситонами практически отсутствует. В этих условиях преимущественное возбуждение свечения ФЛ (*I*) в экситонной полосе будет иметь место лишь при поверхностном характере распределения соответствующих локальных центров, тогда как для остальных (*III*), (*IV*) предполагается более или менее равномерное распределение по объему кристалла.

При легировании кристаллов алюминием ионы  $\text{Al}^{3+}$  занимают места отсутствующих  $10^{19} \text{ см}^{-3}$  [9] ионов германия, а из условия зарядовой компенсации следует ожидать образования более сложного центра, включающего в себя одну или более вакансий кислорода. Действительно, свечение *V* возбуждается также в области 420—450 нм и имеет температурную зависимость, близкую к наблюдавшейся для *IV* (см. рис. 2), т. е. для чисто вакансационного центра, полученного в результате вакуумного отжига или  $X$ -,  $\gamma$ -облучений.

В заключение отметим, что исходные кристаллы германата висмута  $\text{Bi}_{12}\text{GeO}_{20}$  не изменяли своих свойств в поглощении, ФЛ, СВЛ, ФЛ при отжиге в атмосфере кислорода и могут считаться насыщенными окислами. В этой связи фотolumинесценция может быть предложена как простой и удобный метод для обнаружения и изучения дефектов структуры, связанных с нестехиометричностью по кислороду, а также примесных центров, получающихся, например, при легировании алюминием. Соответствующие полосы ФЛ расположены в видимой области спектра, обладают максимальной интенсивностью при комнатной температуре, возбужда-

ются светом 400—450 нм. В частности, из спектра ФЛ кристаллов  $\text{Bi}_{12}\text{GeO}_{20}$ , исследованных в работе [4], следует, что данные кристаллы были нестехиометричны по кислороду.

## ЛИТЕРАТУРА

1. Lauer R. B. Photoluminescence in  $\text{Bi}_{12}\text{SiO}_{20}$  and  $\text{Bi}_{12}\text{GeO}_{20}$ .— Appl. Phys. Lett., 1970, vol. 17, N 4, p. 178.
2. Lauer R. B. Thermostimulated Currents and Luminescence in  $\text{Bi}_{12}\text{SiO}_{20}$  and  $\text{Bi}_{12}\text{GeO}_{20}$ .— J. Appl. Phys., 1971, vol. 42, N 5, p. 2147.
3. Аницыгин В. Д. и др. Фото- и термолюминесценция  $\text{Bi}_{12}\text{GeO}_{20}$ .— Автометрия, 1980, № 1, с. 102.
4. Кудзин А. Ю., Соколянский Г. Х., Буланый М. Ф. Фотолюминесценция монокристаллов германата и силиката висмута.— В кн.: Тез. докл. XXVIII Всесоюз. конф. по люминесценции. Кишинев, 1976, с. 158.
5. Гудаев О. А., Детиненко В. А., Малиновский В. К. Энергетический спектр и природа глубоких уровней в кристаллах германата висмута.— ФТТ, 1981, т. 15, вып. 1, с. 195.
6. Yeliseyev A. P., Nadolny V. A., Gusev N. A. Vacancy Centres in  $\text{Bi}_{12}\text{RO}_{20}$  ( $\text{R} = \text{Si}, \text{Ti}, \text{Ge}$ ).— В кн.: Тез. междунар. конф. «Дефекты в диэлектрических кристаллах». Рига: Зипатне, 1981, с. 345.
7. Куусемани И. Л., Лийдья Г. Г., Лущик Ч. Б. Люминесценция свободных и автолокализованных экситонов в ионных кристаллах.— В кн.: Труды ИФА АН ЭССР. Тарту, 1976, т. 46, с. 5.
8. Лущик Ч. Б. и др. Распад экситонов на дефекты и поляризованныя люминесценция при рекомбинации дефектов в  $\text{CsBr}$ .— Письма в ЖЭТФ, 1980, т. 32, вып. 9, с. 568.
9. Abrahams S. C., Gamieson P. B., Bernstein J. L. Crystal Structure of Piezoelectric Bismuth Germanium Oxide  $\text{Bi}_{12}\text{GeO}_{20}$ .— J. Chem. Phys., 1967, vol. 47, p. 4034.

Поступила в редакцию 5 марта 1981 г.

УДК 538 : 61 : 621.318

А. М. БАЛБАШОВ, С. Г. ПАВЛОВА, Н. Н. ФАДЕЕВ,  
А. Я. ЧЕРВОНЕНКИС, А. П. ЧЕРКАСОВ

(Москва)

## ТЕРМОМАГНИТНАЯ ЗАПИСЬ В Ви-СОДЕРЖАЩИХ ГРАНАТОВЫХ ПЛЕНКАХ

**Приготовление образцов.** Объектами исследования служили пленки феррогранатов, объединенные системами



Пленки выращивали методом изотермической жидкофазной эпитаксии на подложках из  $\text{SmGa}$ -граната, вырезанных в плоскости (111) [1]. Температуру магнитной компенсации в системе (2) контролировали, варьируя концентрацию ионов  $\text{Gd}$  и  $\text{Al}$ . Величину коэрцитивности регулировали, изменяя степень несоответствия в параметрах решеток пленки и подложки  $\Delta a$  ( $\Delta a$  отрицательна, т. е. пленка испытывает стягивающее напряжение). Магнитные и магнитооптические свойства измеряли с помощью традиционных методик [2].

**Магнитооптические параметры.** На рис. 1 приведено спектральное распределение основных магнитооптических характеристик (коэффициента поглощения  $\alpha$ , удельного фарадеевского вращения  $\Theta_F$  и магнитооптической (МО) добротности  $\psi$ ) для пленки состава  $\text{Y}_2\text{BiFe}_{3.8}\text{Ga}_{1.2}\text{O}_{12}$ . Пленки